

埼玉大学 正員 山口宏樹
東京都 池田国隆
埼玉大学 正員 秋山成興

1. はじめに

ケーブルは軸引張力により幾何剛性を得る、いわゆる三次元テンション部材であり、一般にその解析においてねじれを考慮することはない。しかし、ケーブルは非常にフレキシブルであることから風による振動がしばしば問題とされ、特に着氷した送電線や通信線などの非軸対称断面ケーブルにおいては、ギャロッピングと呼ばれるたわみ不安定振動（自励振動）が生じ、これに関係する空力特性が風の相対迎角に敏感であることから、ねじれ振動を考慮した扱いが必要となる。

そこで本研究では、まずケーブルの対風挙動を詳しく考察した上で、ねじれ変位を考慮したケーブルの振動に関する支配方程式を厳密に導き、固有振動特性を数値解析により調べた。

2. ねじれ振動を伴うケーブルの対風挙動

ケーブルの対風挙動の一例として通信架空ケーブルのギャロッピングを示す。通信線路の架設法には種々あるが、耐風上最も問題とされるものは通信ケーブルと吊線をワイヤード一体化するもので、その断面形状がダルマ形となるため、断面輪線と風速方向とのなす角、つまり風の迎角によってはギャロッピングを起こし、実際に破断事故も報告されていく。

この現象を詳細に検討する目的で三次元模型風洞実験を行ない、対風挙動を観測した。模型は縮尺率約1/2²、スパン長l=15m、通信ケーブル径a=17.5mm、吊線径b=4mm²である。ここでサグ比が0.03の場合に風洞風速U=12m/s²生じた逆対称一次モードの振動応答を示すこととする。図1にスパン1/4点での鉛直面内における各点の位置を示したが、振動の発達の様子は次の3段階に分けられることができる。

[オ1段階] 初期振動 $A/(a+b) = 0 \sim 2.5$

図1(a)のように架空ケーブルは風により流され、迎角をもつ面内でのたわみ振動を起す。表次元鉛直振幅 $A/(a+b)$ が2.5程度までのものであり、このとき、

ねじれが分はほとんどない。

[オ2段階] 過渡振動 $A/(a+b) = 2.5 \sim 5.0$
振幅がさらに増大すると、図1(b)のような面内振動ではあるがねじれ振動も生じ、面外にも多少変位する。

[オ3段階] 定常振動 $A/(a+b) \geq 5.0$

この時既に振動は定常となり、図1(b)に示すようなねじれを伴った梢円軌道をえがく振動となる。図2初期の静的な合力位置は1であり、6~10の間のねじれ振動は他の11~1~5のものに比べて非常に速い現象となる。

以上のように複雑なケーブルの対風挙動を理論的に扱おうとすると、初期の微小振動を対象とした場合には、現象が面内/自由度振動として扱い得ることから、従来の準定常理論による扱い¹⁾、つまり静的空気力とたわみ/自由度系に作用させた非線形運動方程式(空気力に基づく非線形)を導くという扱いが可能であり、発振風速の推定はできよう。しかし、振幅が大きくなつてねじれ変位、面外変位が連成した形となると解析しようとすれば、有限変位を扱った、しかもねじれ変位を考慮したケーブルの厳密な支配方程式が必要となり、空気力の非線形性と構造の幾何学的非線形性とを同時に扱わねばならない。

(a)

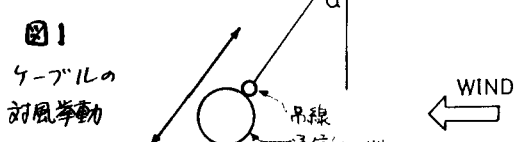
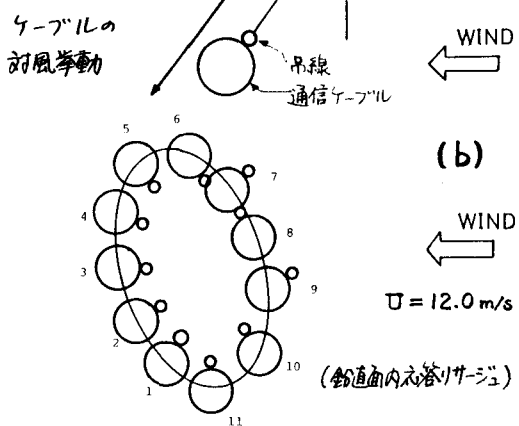


図1



3. わじれ変位を考慮したケーブルの運動方程式

2.2 の考察に基づき、軸力、2 軸曲げ、ねじりを受ける 1 次元部材の基礎方程式(有限変位理論)²⁾から、曲げ剛性を無視することにより、ねじれを考慮したケーブルの厳密な支配方程式を求めた。

(i) 運動方程式

$$\frac{\partial}{\partial S} \left(M_T e_{ijk} \frac{\partial^2 x^j}{\partial S^2} + T \frac{\partial x^i}{\partial S} \right) - P \frac{\partial^2 x^i}{\partial t^2} + \bar{x}^i = 0 \quad (1)$$

$$\frac{dM_T}{dS} - m \frac{\partial^2 \theta}{\partial S^2} + \bar{M}_T = 0 \quad (2)$$

(ii) 断面力-変形関係式

$$M_T = GJ \frac{\partial \theta}{\partial S}, \quad T = EA \epsilon \quad (3), (4)$$

(iii) 変形-変位関係式

$$(1+\epsilon)^2 = \frac{\partial x^i}{\partial S_0} \cdot \frac{\partial x^j}{\partial S_0}, \quad k^2 = \frac{\partial^2 x^i}{\partial S^2} \cdot \frac{\partial^2 x^j}{\partial S^2} \quad (5), (6)$$

$$\zeta = e_{ijk} \frac{\partial x^i}{\partial S} \frac{\partial x^j}{\partial S} \frac{\partial^2 x^k}{\partial S^2} \cdot \frac{1}{k^2} \quad (7)$$

$$\frac{\partial \theta}{\partial S} = \frac{\partial \alpha}{\partial S} + \zeta \quad (8)$$

ここで、 M_T および T は断面力としてのねじリモーヌトおよびケーブル張力、 GJ および EA はねじり剛性および伸び剛性であり、 x^i, x^j, x^k は空間位置成分、 θ はねじれ角である。また α はねじれ率、 α は断面のねじれ回転を規定するパラメータである(図 2)、さらに P, m はそれぞれ単位長さ当たり質量、慣性モーメント、 \bar{x}^i, \bar{M}_T は外力である。

式(1)はたわみ振動に関する運動方程式、式(2)はねじれ振動に関する運動方程式であり、有限変位を考慮とした非線形理論においてはねじれ変位を含め、すべての変位成分が連成することがわかる。

4. 面外変位-ねじれ変位連成固有振動

ケーブルは初期状態にあって X^1, X^2 平面内に静止して

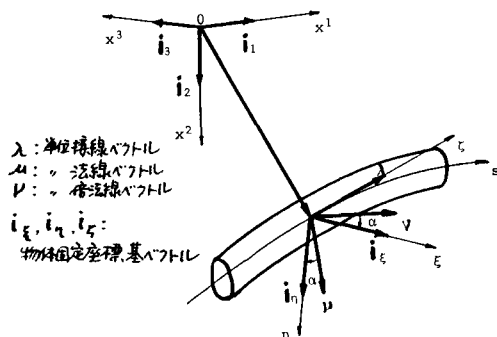
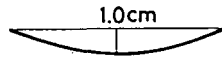


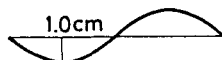
図 2 わじれを考慮したケーブルの座標系

[1st]



-2.35°

[2nd]



-9.40°

[3rd]



-20.8°

(out-of-plane)

(torsion)

図 3 わじれ変位を連成した面外固有振動(スペイン語)

以上のとし、そのつり合い形状を $(x_e, y_e, 0)$ で表わす。そのつり合い位置からの動的微小変位を U, V, W で表わすとのとし、線形化し、自由振動方程式を導いた。その結果、面内変位 U, V につれてはねじれを考慮しない場合と同じ式が得られたが、面外変位 W についてはねじれ変位 θ と連成し、以下のような連成運動方程式が得られた。

$$\frac{\partial}{\partial S_e} \left\{ GJ \left(\frac{\partial \theta}{\partial S_e} + \frac{1}{k^2} (x_e'' y_e''' - x_e''' y_e'') \right) \frac{\partial W}{\partial S_e} + \frac{1}{k^2} (x_e'' y_e''' - x_e''' y_e'') \frac{\partial^2 w}{\partial S_e^2} \right\} + \frac{1}{k^2} (x_e'' y_e''' - x_e''' y_e'') \frac{\partial^2 w}{\partial S_e^2} (x_e'' y_e''' - x_e''' y_e'') + \frac{H_e}{k^2} \frac{\partial w}{\partial S_e} = 0 \quad (9)$$

$$\frac{\partial^2}{\partial S_e^2} \left\{ GJ \left(\frac{\partial \theta}{\partial S_e} + \frac{1}{k^2} (x_e'' y_e''' - x_e''' y_e'') \right) \frac{\partial W}{\partial S_e} + \frac{1}{k^2} (x_e'' y_e''' - x_e''' y_e'') \frac{\partial^2 w}{\partial S_e^2} \right. \\ \left. + \frac{1}{k^2} (x_e'' y_e''' - x_e''' y_e'') \frac{\partial^2 w}{\partial S_e^2} \right\} - m \frac{\partial^2}{\partial t^2} \left\{ \frac{\partial \theta}{\partial S_e} + \frac{1}{k^2} (x_e'' y_e''' - x_e''' y_e'') \frac{\partial^2 w}{\partial S_e^2} \right. \\ \left. + \frac{1}{k^2} (x_e'' y_e''' - x_e''' y_e'') \frac{\partial^2 w}{\partial S_e^2} + \frac{1}{k^2} (x_e'' y_e''' - x_e''' y_e'') \frac{\partial^2 w}{\partial S_e^2} \right\} = 0 \quad (10)$$

式(9),(10)に Galerkin 法を適用し、風洞実験での模型の諸元を用いて固有振動解析を行った。その結果は図 3 に示すとおり。線形理論においてもねじれ変位は面外固有振動に連成することがわかる。

5. まとめ

ケーブルの初期構造解析は構造的非線形性と空力的非線形性をともに考慮し、かつねじれ変位が重要なため、それを考慮する必要がある。ここで導いた支配方程式をもとに今後、解析を進める予定である。

なお、風洞実験等に関して 東京大学伊藤学教授、藤野陽三助教授、助言 E.T.頂いたことを付記し、謝意を表す次第である。

(参考文献) 1) 国内、伊藤、宮田:ケーブル構造、丸善、1977.

2) 山口、宮田、林義:曲げ剛性を考慮したケーブルの面内線形的応答、土論、1982.